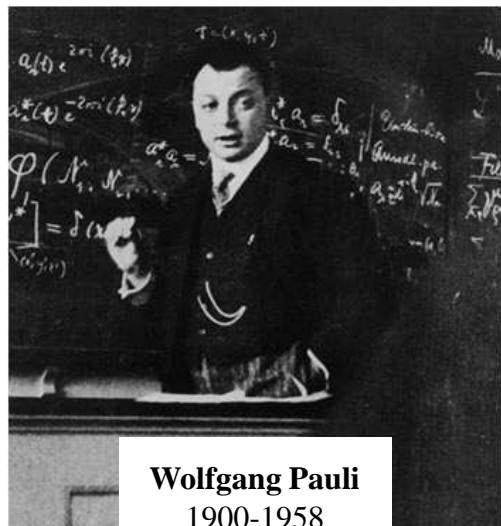


Intercambio

Orden magnético de corto alcance. Interacción de intercambio

Electrones **1 y 2** de dos átomos vecinos **i,j**.

Spin-statistics theorem



Wolfgang Pauli
1900-1958

Fierz

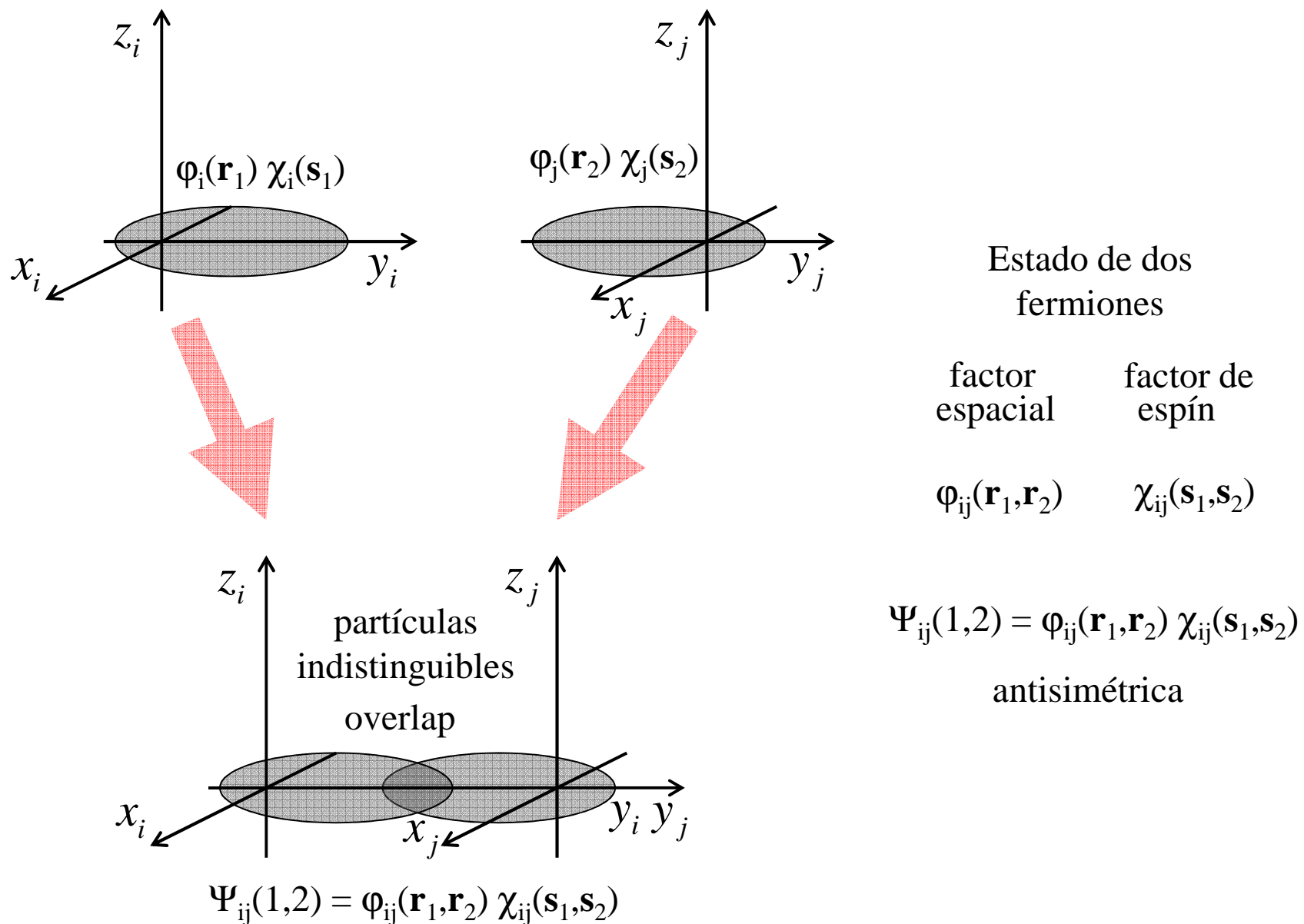
Pauli

Schwinger

Feynman

El estado de un sistema de partículas idénticas de espín entero no cambia cuando dos partículas son intercambiadas: tienen estados simétricos. Las partículas con estados simétricos se llaman **bosones**.

El estado de un sistema de partículas idénticas de espín semientero cambia de signo cuando dos partículas son intercambiadas: tienen estados antisimétricos. Las partículas con estados antisimétricos se llaman **fermiones**.



electrones $\rightarrow \Psi_{ij}(1,2)$ antisimétrica

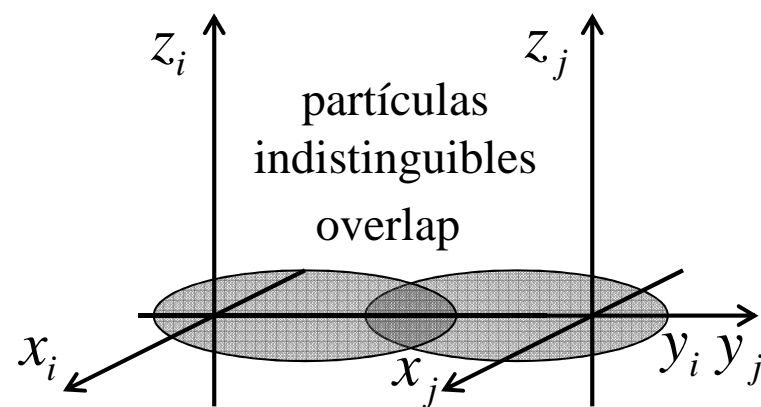
$$\Psi_{ij}(1,2) = \varphi_{ij}(\mathbf{r}_1, \mathbf{r}_2) \chi_{ij}(\mathbf{s}_1, \mathbf{s}_2)$$

$\varphi_{ij}(\mathbf{r}_1, \mathbf{r}_2)$
simétrica

$\chi_{ij}(\mathbf{s}_1, \mathbf{s}_2)$
antisimétrica

$\varphi_{ij}(\mathbf{r}_1, \mathbf{r}_2)$
antisimétrica

$\chi_{ij}(\mathbf{s}_1, \mathbf{s}_2)$
simétrica



$$\Psi_{ij}(1,2) = \varphi_{ij}(\mathbf{r}_1, \mathbf{r}_2) \chi_{ij}(\mathbf{s}_1, \mathbf{s}_2)$$

Factor de espín

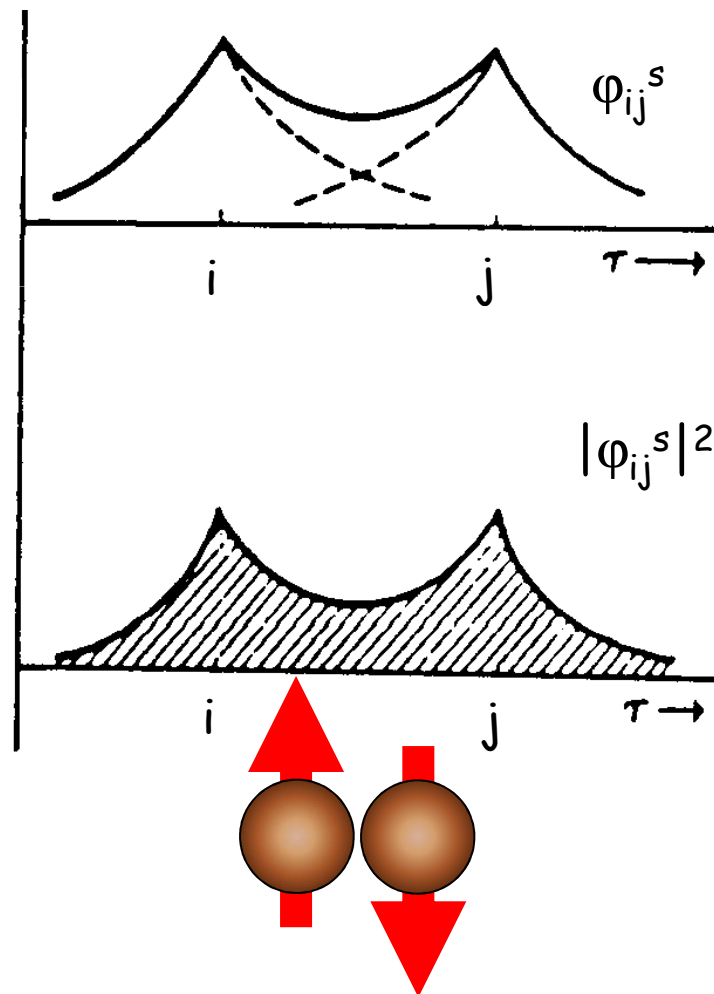
$$\chi_{ij}^s = \frac{1}{\sqrt{2}} \{ |\uparrow\downarrow\rangle - |\downarrow\uparrow\rangle \} \quad S = 0 \quad \text{Singlete (antisimétrico)}$$

$$\chi_{ij}^t = \left\{ \begin{array}{l} |\uparrow\uparrow\rangle \\ \frac{1}{\sqrt{2}} [|\uparrow\downarrow\rangle + |\downarrow\uparrow\rangle] \\ |\downarrow\downarrow\rangle \end{array} \right\} \quad S = 1 \quad \text{Triplete (simétrico)}$$

Factor espacial

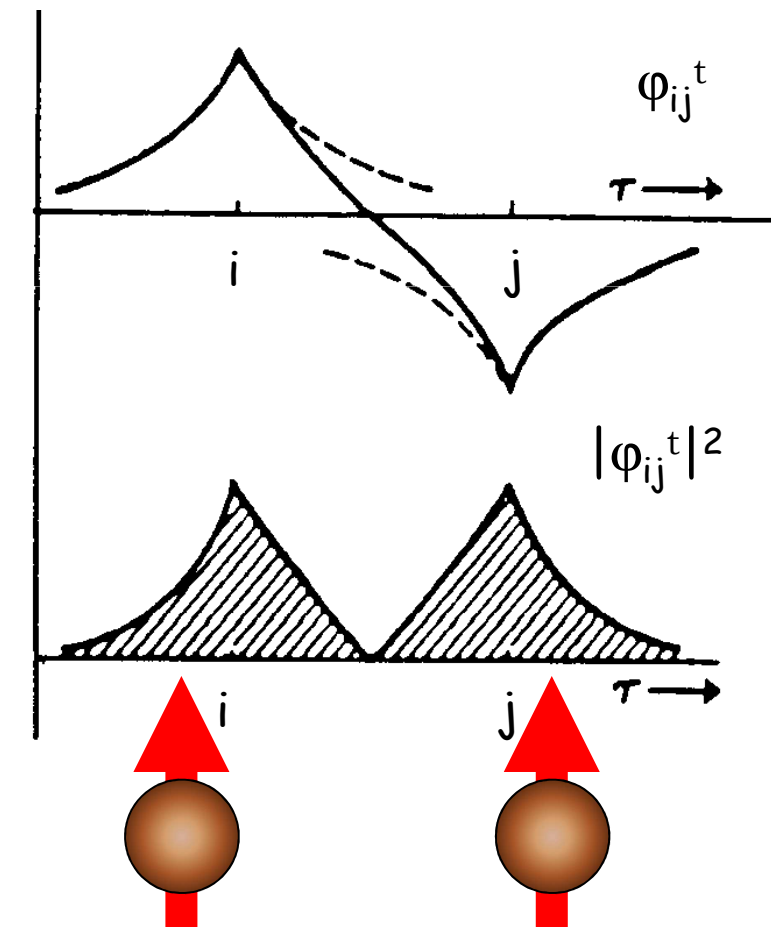
$$\varphi_{ij}^s = \frac{1}{\sqrt{2}} \left\{ \varphi_i(\vec{r}_1) \varphi_j(\vec{r}_2) + \varphi_i(\vec{r}_2) \varphi_j(\vec{r}_1) \right\}$$

(simétrico)



$$\varphi_{ij}^t = \frac{1}{\sqrt{2}} \left\{ \varphi_i(\vec{r}_1) \varphi_j(\vec{r}_2) - \varphi_i(\vec{r}_2) \varphi_j(\vec{r}_1) \right\}$$

(antisimétrico)



Evaluación de la energía potencial

Valor esperado de U

$$E_S = \langle U \rangle_S = \left\langle \varphi_{ij} \left| U \right| \varphi_{ij} \right\rangle = \int_{\substack{\text{todo el} \\ \text{espacio}}} \varphi_{ij}^*(\vec{r}_1, \vec{r}_2) U \varphi_{ij}(\vec{r}_1, \vec{r}_2) dV_1 dV_2$$

en el estado singlete:

$$(llamamos \varphi_i(\vec{r}_1) = \varphi_{i1})$$

$$E_s = \langle U \rangle_s = \int_{\text{todo el espacio}} \varphi_{ij}^{s*}(\vec{r}_1, \vec{r}_2) U \varphi_{ij}^s(\vec{r}_1, \vec{r}_2) dV_1 dV_2$$

$$E_s = K_{ij} + J_{ij}$$

$$K_{ij} = \int \varphi_{i1}^* \varphi_{j2}^* U \varphi_{i1} \varphi_{j2} dV_1 dV_2$$

Término directo

$$J_{ij} = \int \varphi_{i1}^* \varphi_{j2}^* U \varphi_{i2} \varphi_{j1} dV_1 dV_2$$

Término de intercambio

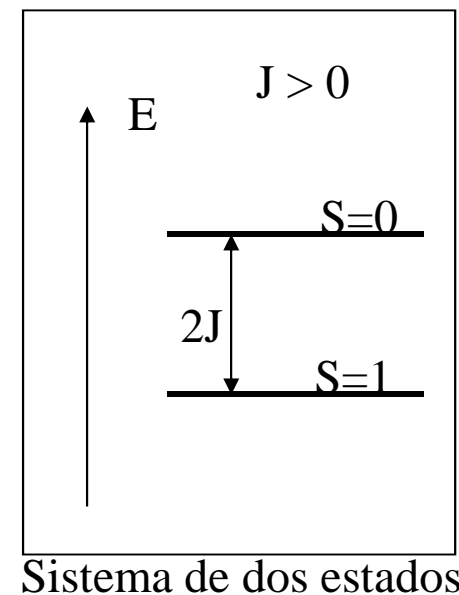
en el estado triplete:

$$E_t = \langle U \rangle_t = \int_{\text{todo el espacio}} \varphi_{ij}^{t*}(\vec{r}_1, \vec{r}_2) U \varphi_{ij}^t(\vec{r}_1, \vec{r}_2) dV_1 dV_2$$

$$E_s = K_{ij} - J_{ij}$$

diferencia de energía entre ambos estados:

$$E_s - E_t = E(s=0) - E(s=1) = 2J_{ij}$$

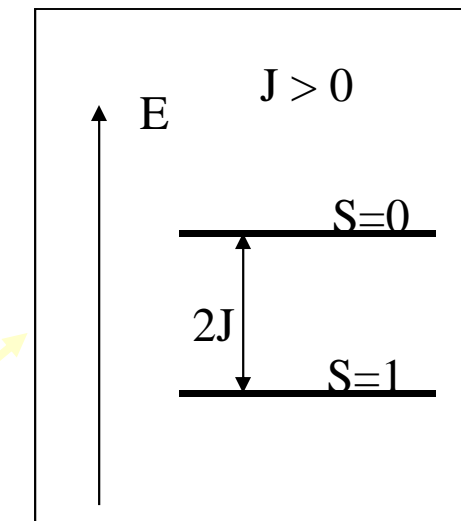


Sistema de dos estados

Operador Hamiltoniano de espín

$$\mathcal{H}_{spin} = 2J_{ij} \vec{s}_i \cdot \vec{s}_j$$

Hamiltoniano
de Heisemberg



Sistema de dos estados

Valor típico de J en materiales con
elementos 3d (Cr, Mn, Fe, Co Ni)

$$J_{ij} \approx 10^{-21} Joules$$

Alcance espacial de la interacción de intercambio

$$\psi(r, \theta, \phi) = R(r)P(\theta)F(\phi)$$

Función de onda electrónica

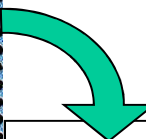
$$R_{n,l}(r) = r^l L_{n,l} e^{-rnla_0}$$

Polinomio de Laguerre (át. H)

$$J(r) \approx e^{-\alpha r}$$

Interacción de corto alcance

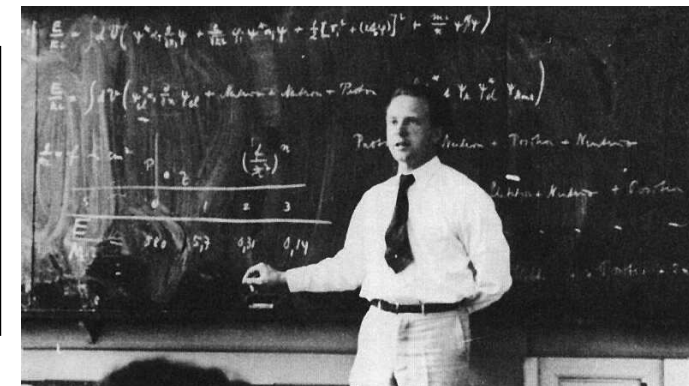
Operador Hamiltoniano de espín



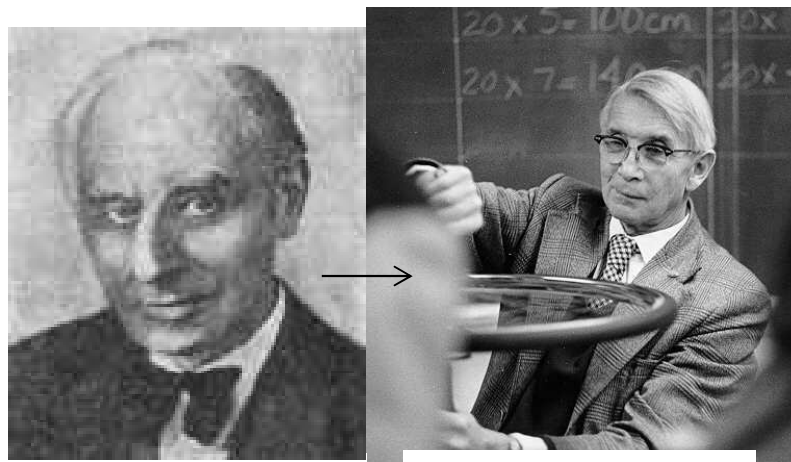
Hamiltoniano de Heisemberg

$$\mathcal{H}_H = -2J_{ij} \vec{s}_i \cdot \vec{s}_j$$

Paul Dirac (1902 - 1984)



Werner Heisenberg (1901 - 1976)

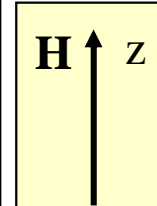


Wilhelm Lenz
(1888 - 1957)

Ernst Ising
(1900 - 1998)

Hamiltoniano de Ising

$$\mathcal{H}_I = -2J_{ij} s_{iz} s_{jz}$$



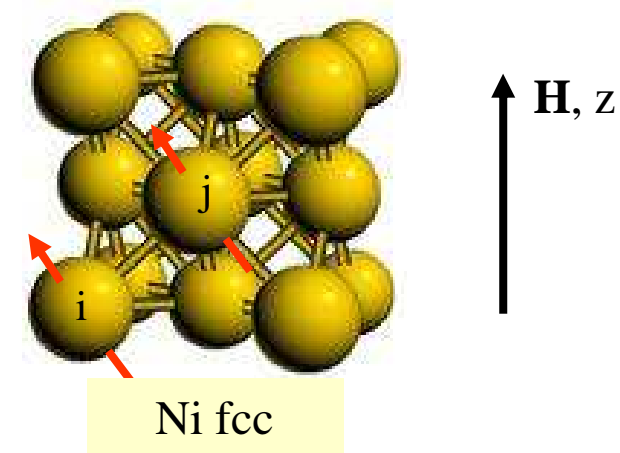
Empleo muy difundido en física y otras áreas del conocimiento

(a) Ferromagnetismo

Análisis simple del Ferromagnetismo. Teoría del campo molecular para electrones localizados en un sólido elemental.

Consideramos dos contribuciones a la energía

$$E = -\sum_{ij} J_{ij} \vec{s}_i \cdot \vec{s}_j - \sum_i \mu_0 g \mu_B \vec{s}_i \cdot \vec{H}$$



intercambio Zeeman

$$E = - \sum_{ij} J_{ij} \vec{s}_i \cdot \vec{s}_j - \sum_i \mu_0 g \mu_B \vec{s}_i \cdot \vec{H}$$

$$E = -\mu_0 g \mu_B \sum_i \vec{s}_i \cdot \left(\sum_j \frac{J_{ij} \vec{s}_j}{\mu_0 g \mu_B} + \vec{H} \right)$$

The diagram illustrates the derivation of the effective magnetic field \vec{H}_{ef} . It starts with the full expression for the energy E involving exchange interactions and a uniform magnetic field. A red bracket groups the exchange interaction term, which is then factored out as a scalar multiple of the sum of spin vectors. This results in the final expression for the energy, where the effective field \vec{H}_{ef} is circled in red.

$$E = -\mu_0 g \mu_B \sum_i \vec{s}_i \cdot \vec{H}_{ef}$$

$$E = -\mu_0 g \mu_B \sum_i \vec{s}_i \cdot \vec{H}_{ef}$$

Campo de Weiss

$$\vec{H}_{ef} = \sum_j \frac{J_{ij} \vec{s}_j}{\mu_0 g \mu_B} + \vec{H}$$

\vec{H}_{Weiss}



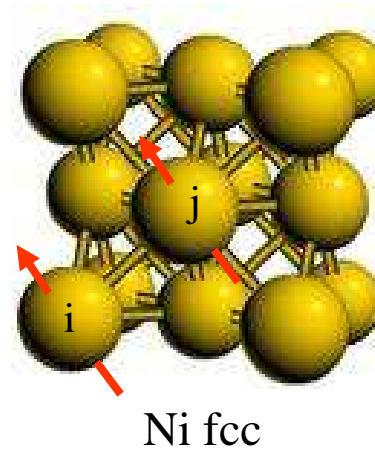
Scanned at the American
Institute of Physics

Pierre Weiss (1865-1940)

Limitando la suma a
los primeros vecinos

$$\vec{H}_{Weiss} = \sum_j \frac{J_j \vec{s}_j}{\mu_0 g \mu_B} \approx \frac{p J_j \langle s_z \rangle_z}{\mu_0 g \mu_B} \hat{u}_z$$

$$p = 12$$



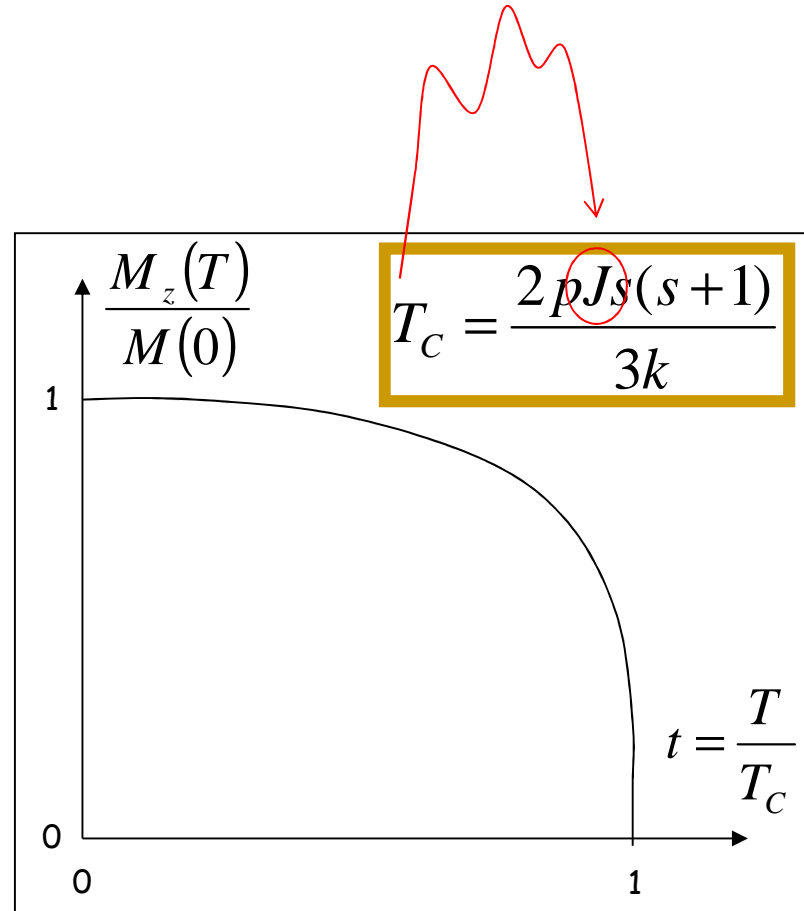
$$H_w^i = \frac{2 p J \langle s_z \rangle}{\mu_0 g \mu_B} \quad \longleftrightarrow \quad \left\{ \begin{array}{l} \approx 6.4 \times 10^8 \text{ A/m} \\ \approx 800 \text{ Tesla} \end{array} \right.$$

Temperatura de Curie

$$H_{ef} = \sum_j \frac{J_{ij} \langle s_z \rangle}{\mu_0 g \mu_B} + H$$

$$\langle \mu_z \rangle = \mu B_J \left(\frac{\mu_0 g \mu_B s H_{ef}}{kT} \right)$$

$$\mu_0 g \mu_B \langle s_z \rangle = \mu B_J \left(\frac{\mu_0 g \mu_B s H_{ef}}{kT} \right)$$



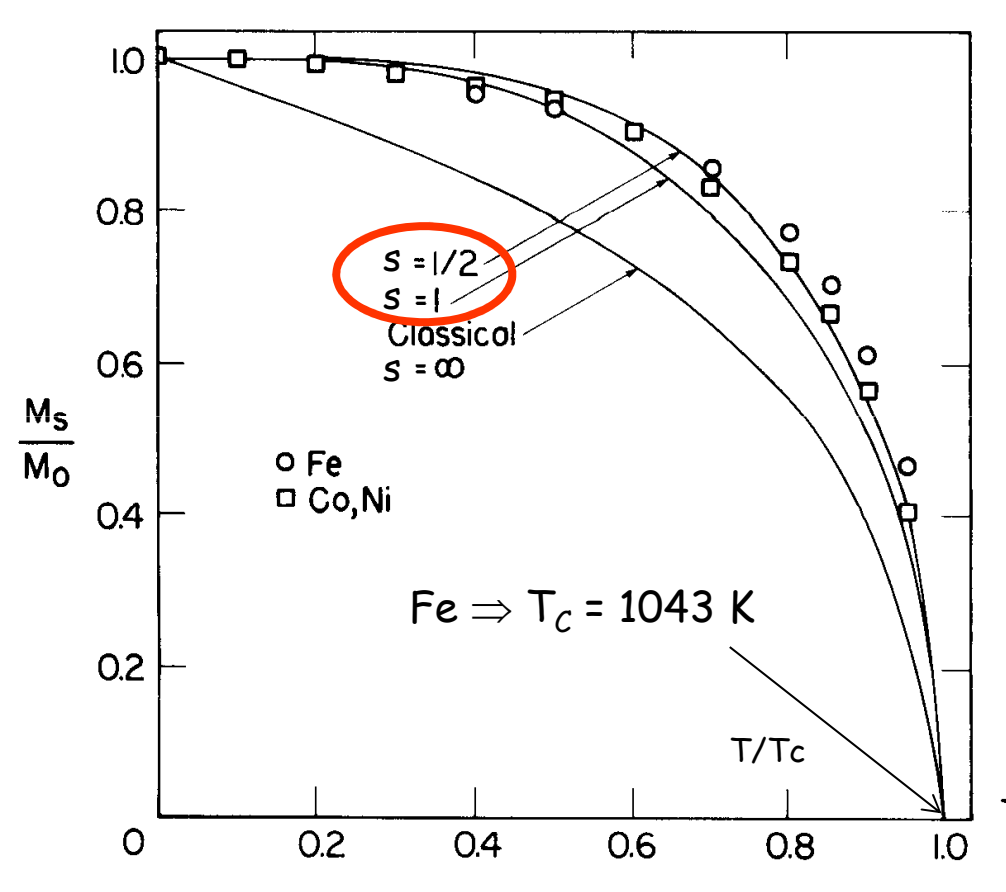
Ecuación trascendente para $\langle s_z \rangle$, $\langle \mu_z \rangle$ ó M_z

$$T_c = \frac{2 p J s(s+1)}{3k}$$

Temperaturas de Curie

| Material | Curie temperature (K) |
|----------------------|-----------------------|
| Fe | 1043 |
| Co | 1388 |
| Ni | 627 |
| Gd | 293 |
| Dy | 85 |
| CrBr ₃ | 37 |
| Au ₂ MnAl | 200 |
| Cu ₂ MnAl | 630 |
| Cu ₂ MnIn | 500 |
| EuO | 77 |
| EuS | 16.5 |
| MnAs | 318 |
| MnBi | 670 |
| GdCl ₃ | 2.2 |
| Fe ₂ B | 1015 |
| MnB | 578 |

Ejemplo: estimación del spin s y la integral de intercambio J para el Fe bcc (α)



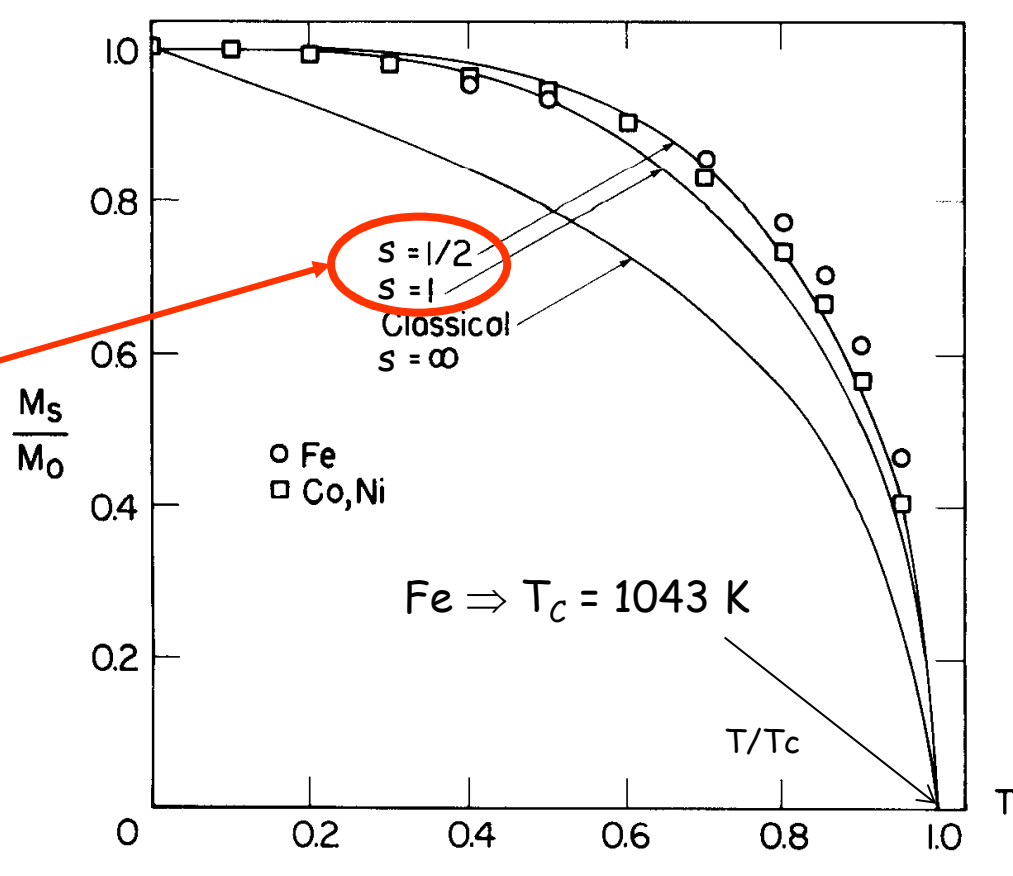
Ejemplo: estimación del spin s y la integral de intercambio J para el Fe bcc (α)

$$\rightarrow \boxed{J = \frac{3kT_c}{2ps(s+1)}}$$

(1) s_{Fe} ?

(1a) M_S vs T

$$s_{Fe} \approx 0.5 - 1.0$$



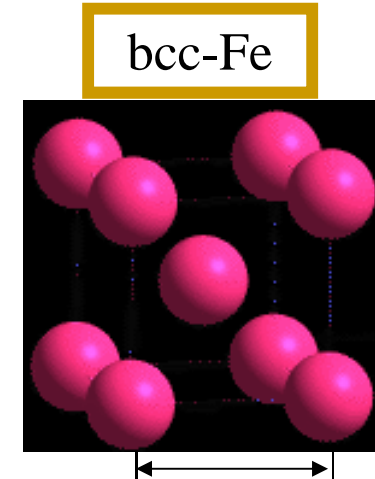
s_{Fe} ?

(1b) valor de M_s a 0 K

$$M_s = 2.198 \text{ Tesla}$$

$$M_s = \frac{\mu}{V} = \frac{\mu_{at}}{V_{at}} \Rightarrow \mu_{at} = M_s V_{at}$$

$$\mu_{at} = M_s \frac{V_{cel}}{2} = M_s \times \frac{a^3}{2} = \frac{2.198}{4\pi \times 10^{-7}} \left(\frac{A}{m} \right) \times \frac{(2.865)^3}{2} \times 10^{-30} m^3 = 2.065 \times 10^{-23} Am^2 = 2.23 \mu_B$$



$$a = 2.865 \text{ \AA}$$

$$\mu_{at} = g s_{Fe} \mu_B = 2 s_{Fe} \mu_B$$

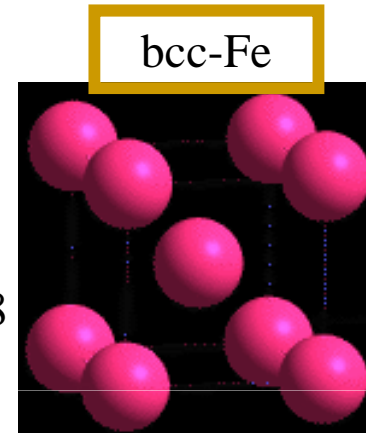
$$s_{Fe} \approx 1.115$$

$$J = \frac{3kT_C}{2ps(s+1)}$$

1043K

1.115

$p = 8$



$$J_{\alpha-Fe} \approx \frac{3 \times 1.38 \times 10^{-23} (Joule/K) \times 1043 K}{2 \times 8 \times 1.115 \times 2.115} = 1.21 \times 10^{-21} Joule$$

$J_{\alpha-Fe} \approx 1.21 \times 10^{-21} Joule$

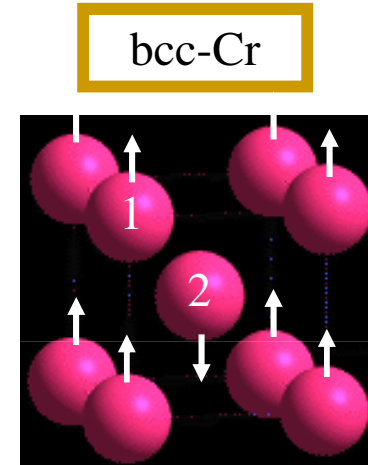
(b) Antiferromagnetismo

Análisis simple del Antiferromagnetismo. Teoría del campo molecular para electrones localizados en un sólido elemental.

$$E = - \sum_{i,j}^{N,p} J_{ij} \vec{s}_i \cdot \vec{s}_j - \sum_i^N \mu_0 g \mu_B \vec{s}_i \cdot \vec{H}$$

acoplamiento con primeros, o con primeros y segundos vecinos

Ejemplo, Red bcc: sólo dos subredes 1 y 2, p primeros vecinos (1) y p' segundos vecinos (2)



Subredes 1 y 2

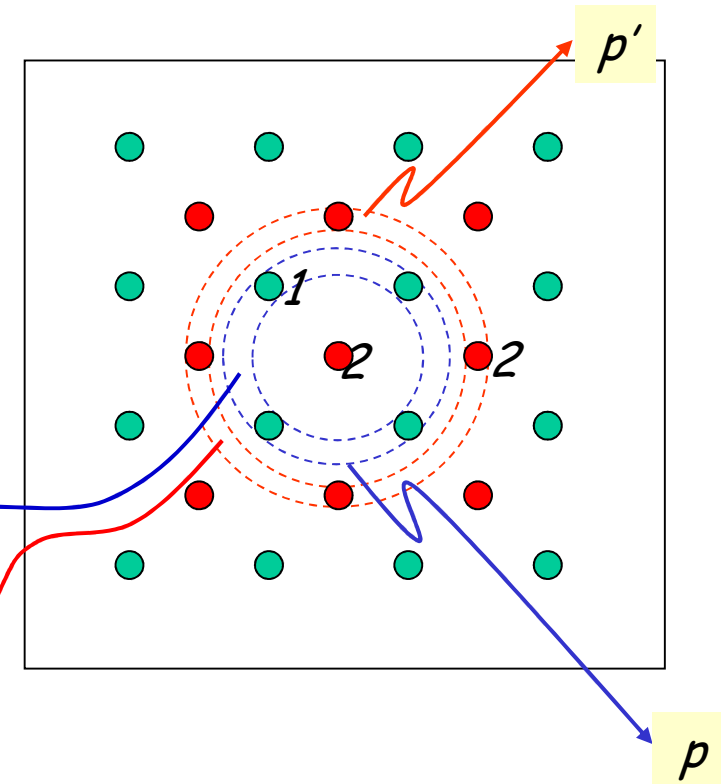
Para fijar ideas nos ubicamos en un punto de la subred 2

(a) intercambio $J < 0$ entre primeros vecinos

(b) J' , acoplamiento entre segundos vecinos (de la misma subred-2), $|J| \gg |J'|$

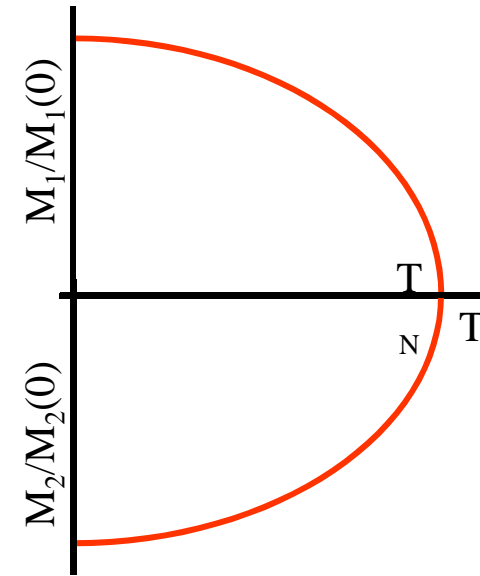
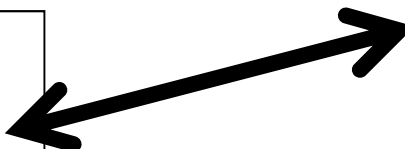
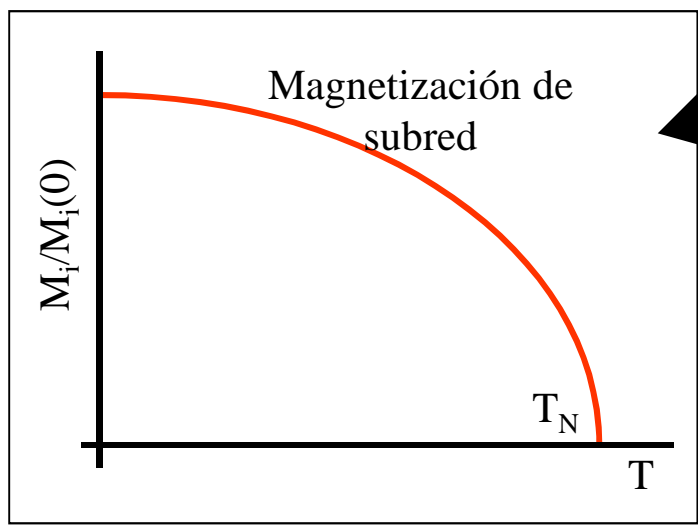
$$H_{Weiss}^{(2)} = \frac{2}{\mu_0 g \mu_B} (p J \langle s_1 \rangle + p' J' \langle s_2 \rangle)$$

$$H_{Weiss}^{(1)} = \frac{2}{\mu_0 g \mu_B} (p J \langle s_2 \rangle + p' J' \langle s_1 \rangle)$$



Campo de Weiss sobre momentos de la subred 2

Campo de Weiss sobre momentos de la subred 1

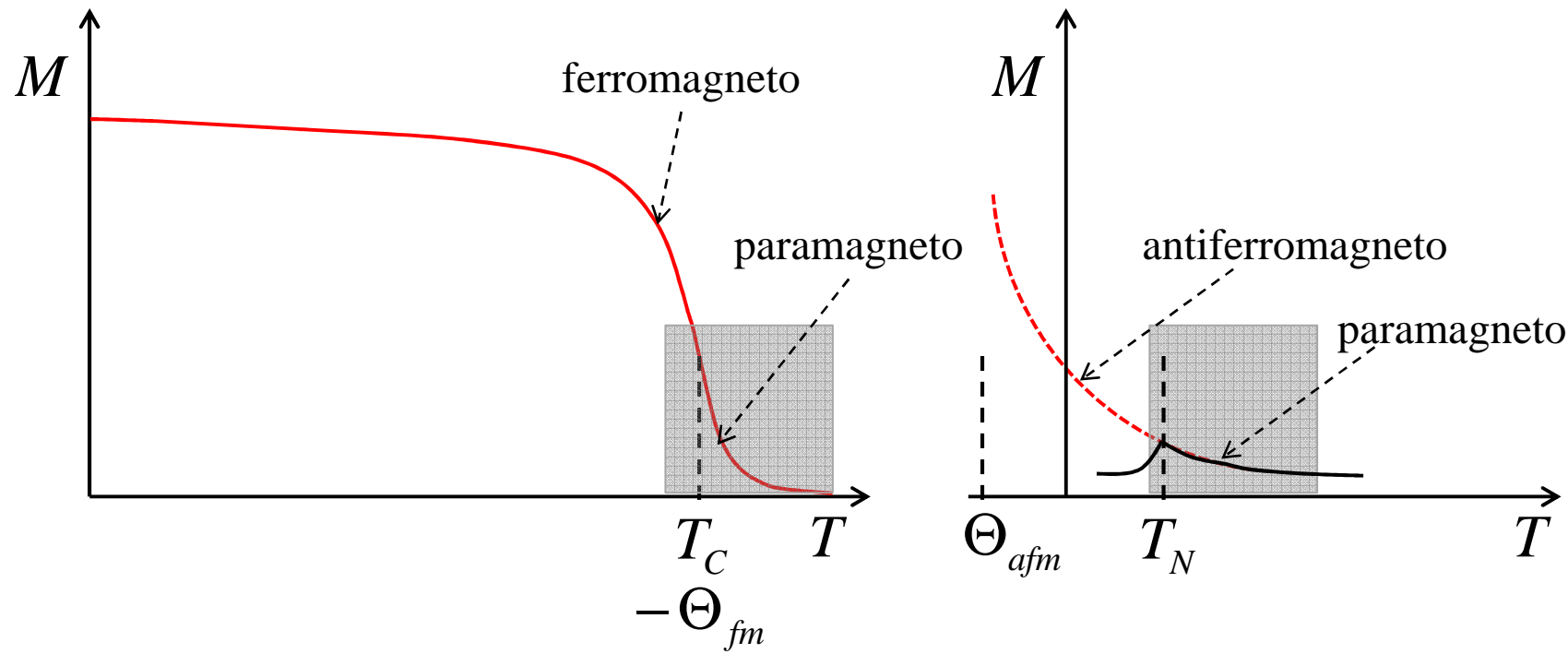


$$M_i \neq 0$$

$$M_1 + M_2 = 0 \quad \Rightarrow \quad \vec{M}_2 = -\vec{M}_1$$

$$T_N = \frac{2(pJ)_{ef} s(s+1)}{3k} = \frac{2(-pJ + p'J')s(s+1)}{3k}$$

$$J < 0, \quad |J| \gg |J'| \Rightarrow T_N > 0$$



Ley de Curie-Weiss

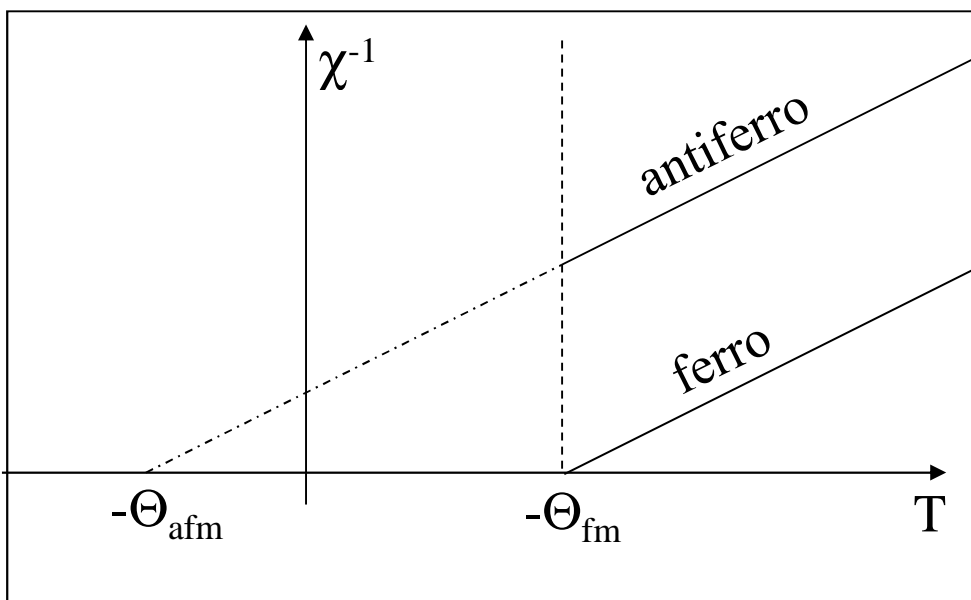
$$\chi_{inic} = \frac{C}{T + \Theta}$$

$$\Theta_{afm} = -\frac{2s(s+1)(pJ + p'J')}{3k} > 0$$

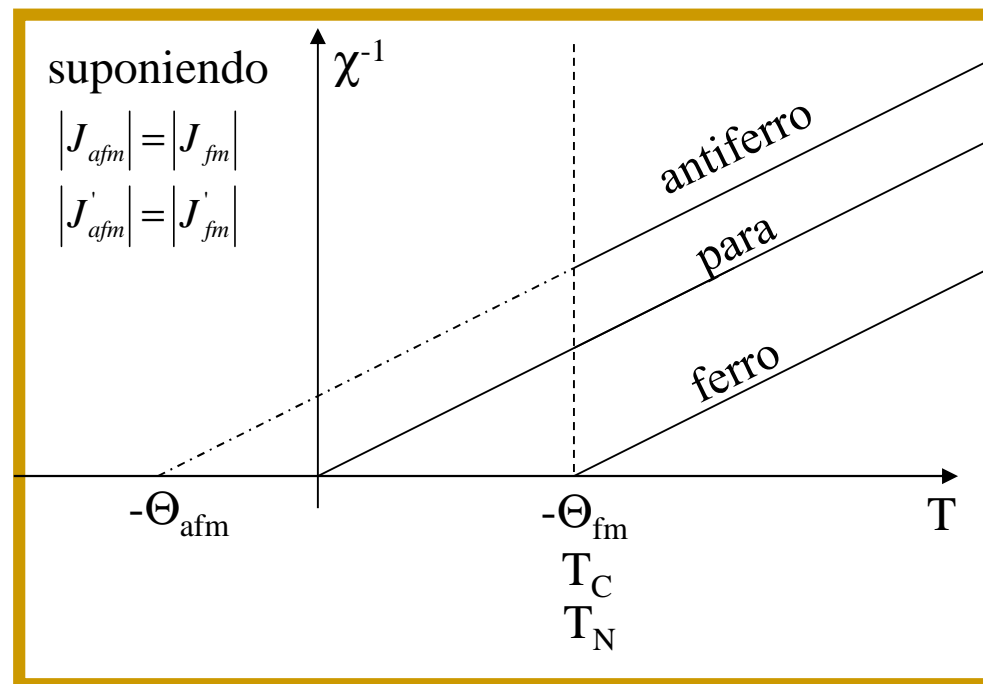
$$\Theta_{fm} = -\frac{2s(s+1)(pJ + p'J')}{3k} < 0$$

$$\chi = \frac{C}{T + \Theta}$$

$$\chi^{-1} = \frac{T + \Theta}{C}$$



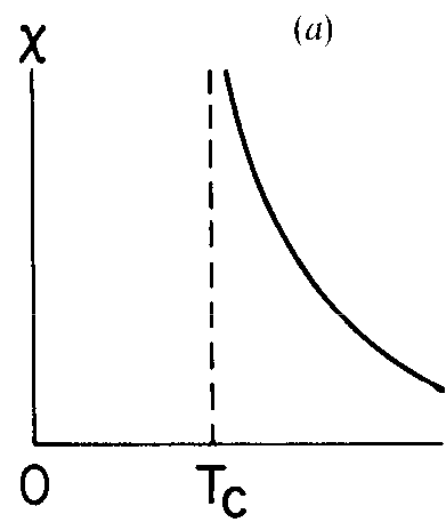
| antifero | ferro | para |
|---|--|-------------------|
| $J \leq 0; J \gg J' $ | $J \geq 0; J \gg J' $ | $J = J' = 0$ |
| $\Theta_{afm} = -\frac{2s(s+1)(pJ + p'J')}{3k} > 0$ | $\Theta_{fm} = -\frac{2s(s+1)(pJ + p'J')}{3k} < 0$ | $\Theta_{pm} = 0$ |
| $T_N = \frac{2s(s+1)(p'J' - pJ)}{3k} > 0$ | $T_C = \frac{2s(s+1)(p'J' + pJ)}{3k} > 0$ | $T_{Cr}^{pm} = 0$ |
| $T_N \neq \Theta_{afm}$ | $T_C = -\Theta_{fm}$ | |



Ley de Curie-Weiss

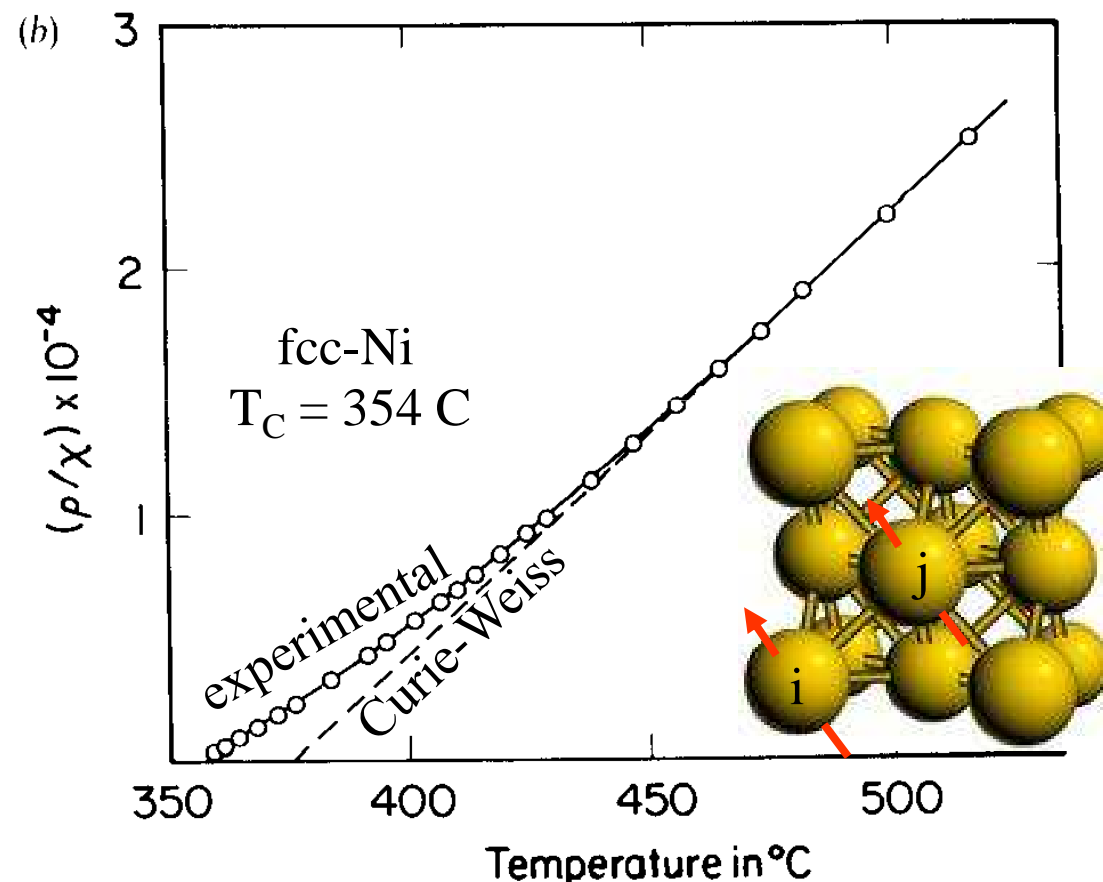
$$\chi = \frac{C}{T + \Theta}$$

ferromagneto

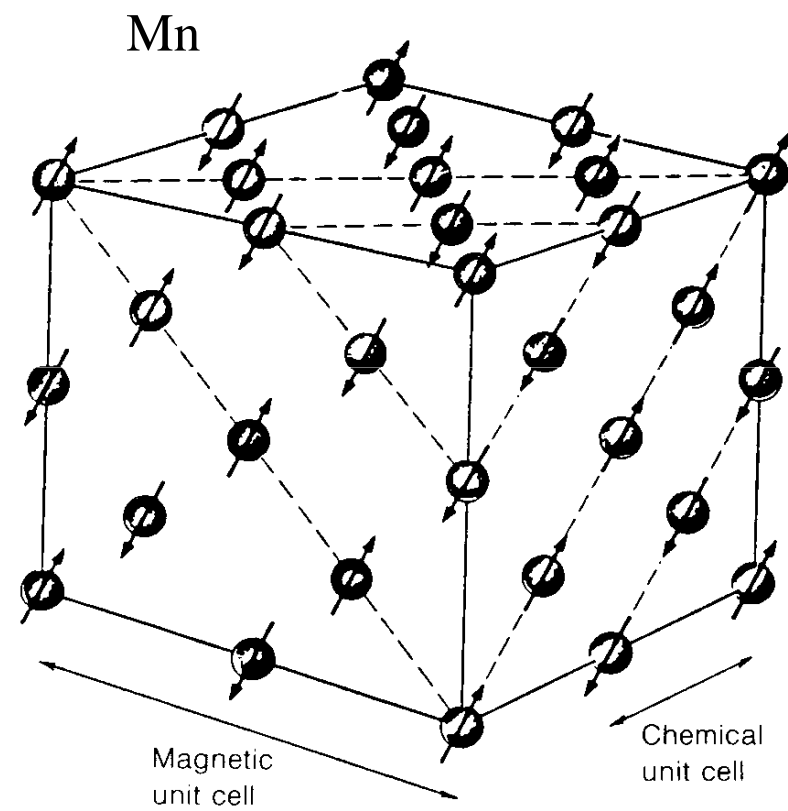
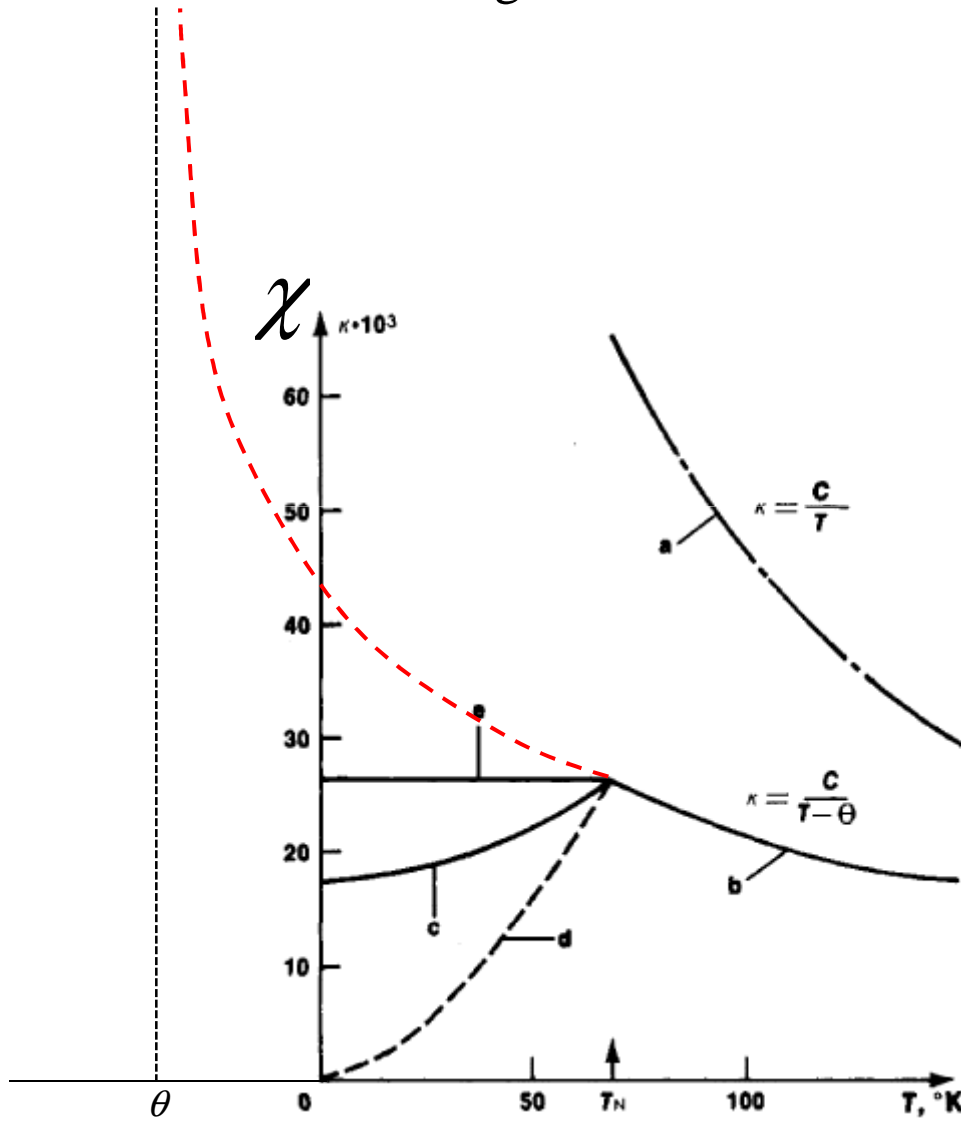


$$\chi = \frac{C}{T - T_C}$$

Curie-Weiss Law
($T > T_C$)

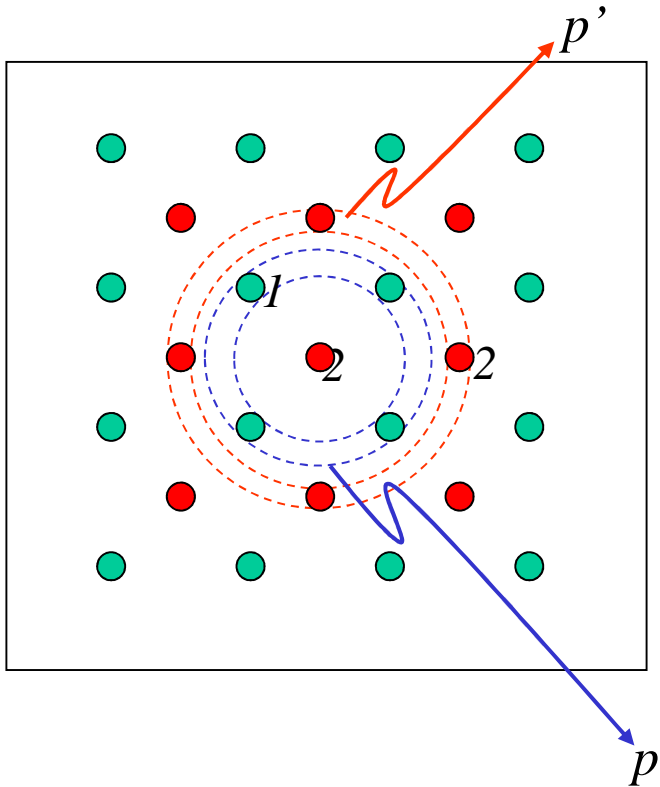


antiferromagneto



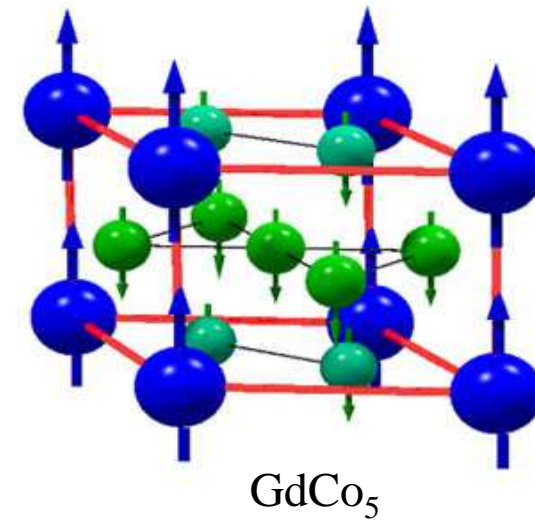
(c) Ferrimagnetismo

Ferrimagnetismo



$$\begin{matrix} s_1 \\ s_2 \end{matrix}$$

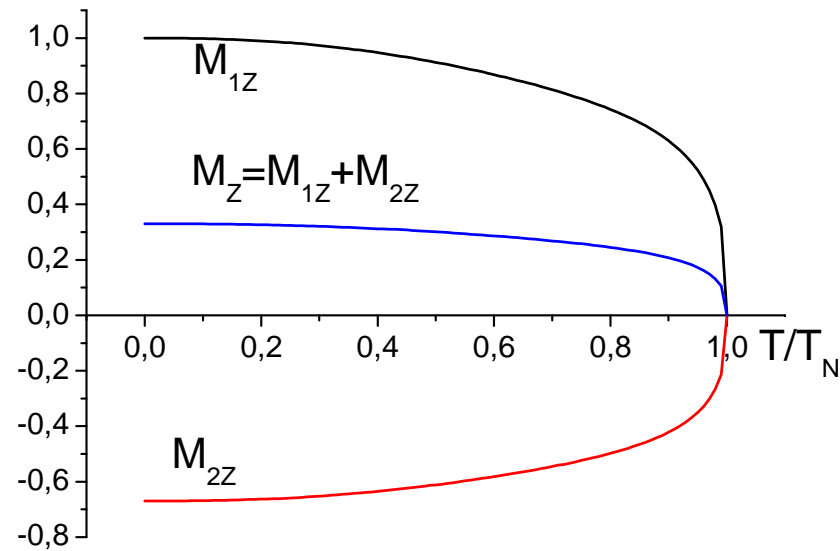
Ferrimagneto: momento opuesto y diferente en cada subred



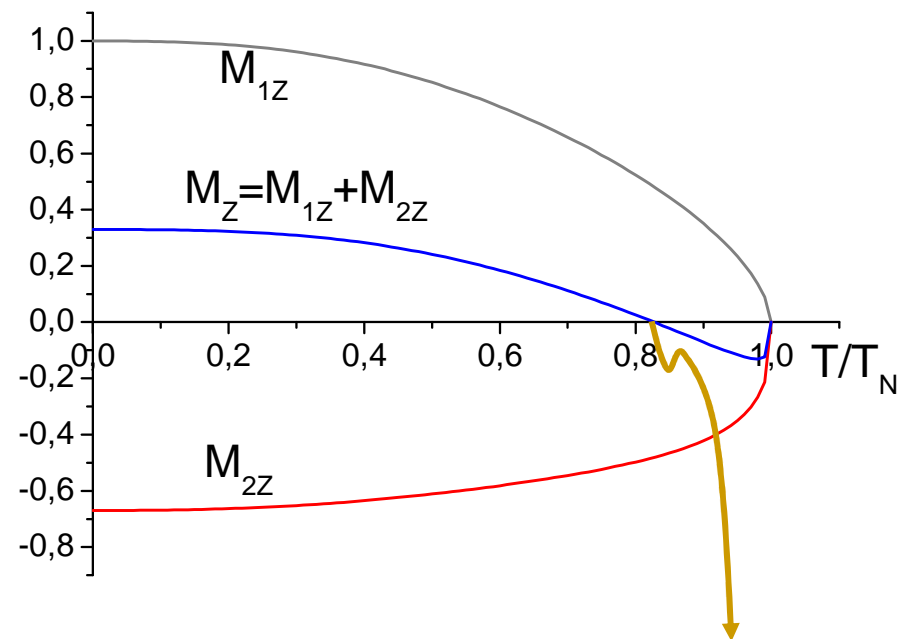
$$H_{Weiss}^{(2)} = \frac{2}{\mu_0 g \mu_B} (pJ \langle s_1 \rangle + p'J' \langle s_2 \rangle)$$

$$H_{Weiss}^{(1)} = \frac{2}{\mu_0 g \mu_B} (pJ \langle s_2 \rangle + p'J' \langle s_1 \rangle)$$

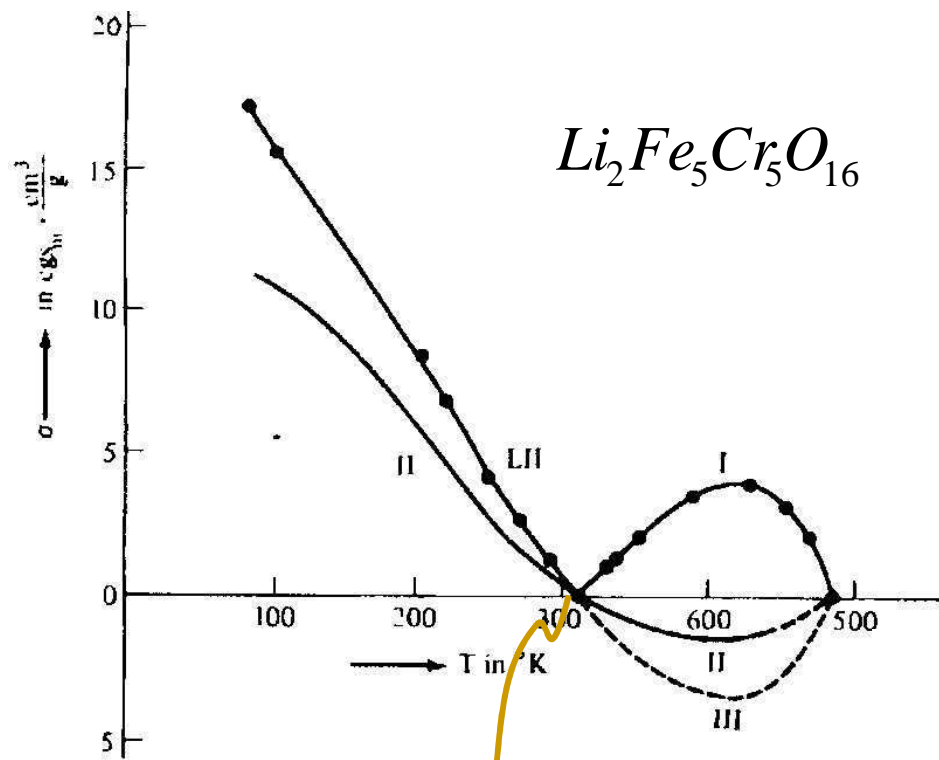
Sub-redes con comportamiento térmico similar



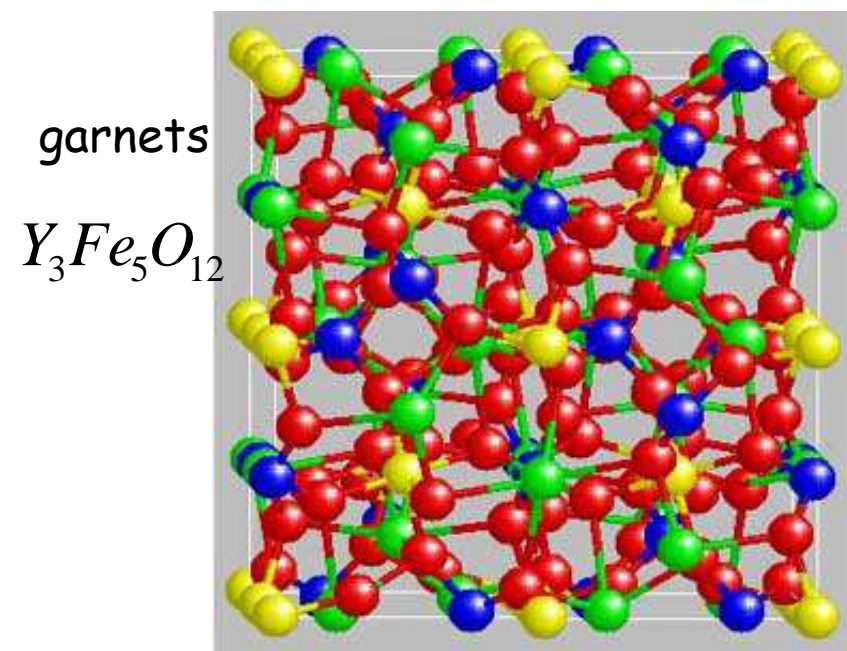
Sub-redes con diferente comportamiento térmico



Punto de compensación



Punto de compensación



garnets de tierras raras

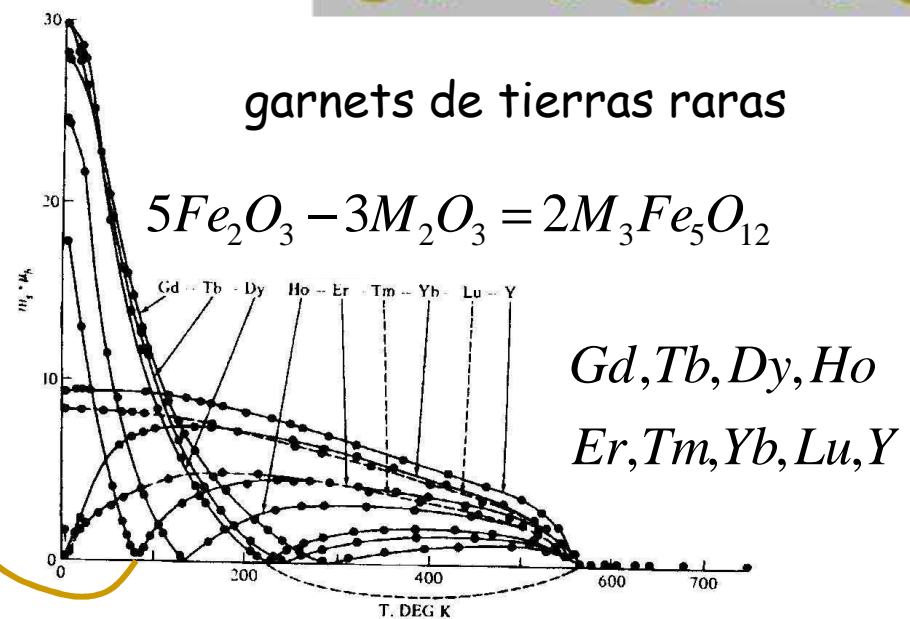
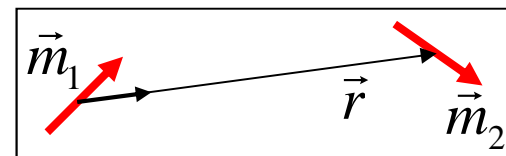
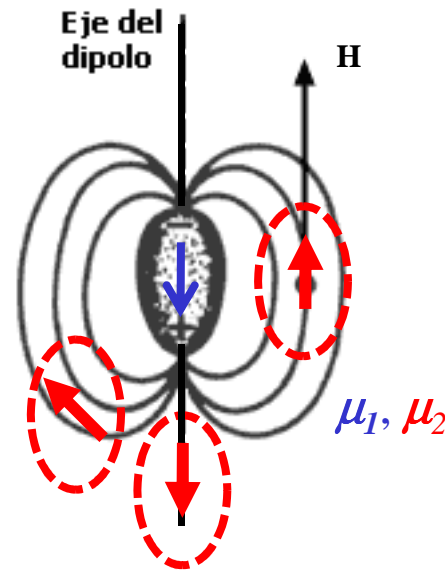


Figure 11.13-Temperature dependencies of the magnetic moments of the rare earth garnets. Note the occurrence of a compensation point in several of the curves. From Bertaut F., and Pauthenet,R., Proc. IEE, 104, Suppl.#5, 261,(1957)

Ordenamiento magnético por interacción dipolar



$$U_{dip} = \frac{\mu_0}{4\pi r^3} [\vec{\mu}_1 \cdot \vec{\mu}_2 - 3(\vec{\mu}_1 \cdot \hat{r})(\vec{\mu}_2 \cdot \hat{r})]$$

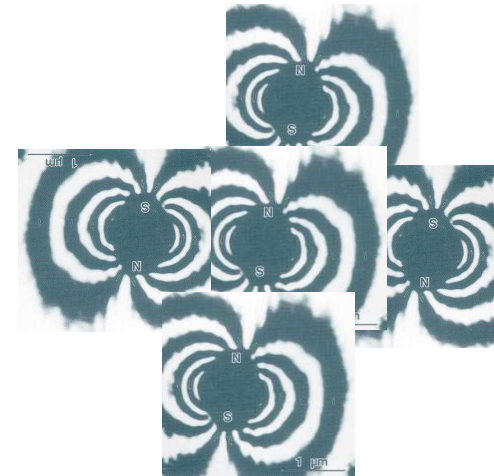
$$U_{dip} \approx \frac{\mu_0}{4\pi r^3} \mu_1 \mu_2$$

entre momentos atómicos:

$$U_{dip} \approx \frac{\mu_0}{4\pi r^3} \mu_1 \mu_2$$

$$\mu_1 \approx \mu_2 \approx \mu_B \approx 10^{-23} Am^2$$

$$r \approx 0.2 nm = 2 \times 10^{-10} m$$



$$U_{dip} \approx \frac{4\pi \times 10^{-7}}{4\pi \times 8 \times 10^{-30}} \times 10^{-46} Joules = 1.25 \times 10^{-24} Joules = 0.78 \times 10^{-5} eV$$

Podemos comparar esta interacción con la de intercambio (*exch*)

$$U_{exch} \approx 2J_{exch} = 10^{-21} Joules = 0.63 \times 10^{-2} eV$$

Considerando que

$$T_{Cr} \approx \alpha U$$



$$\frac{(T_{Cr})_{dip}}{(T_{Cr})_{exch}} \approx \frac{U_{dip}}{U_{exch}} \approx 10^{-3} \xrightarrow{T_{exch} < 10^3 K} (T_{Cr})_{dip} < 1K$$

Sólo pueden esperarse efectos de ordenamiento dipolar a escala atómica a temperaturas muy bajas

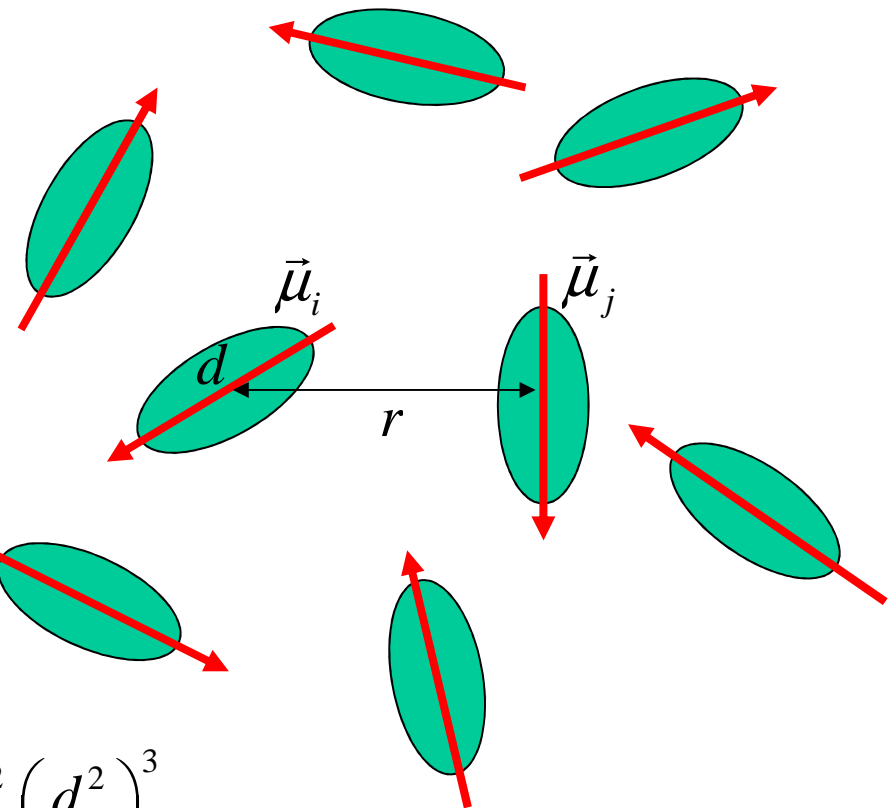
Interacción dipolar entre NPs

Cómo depende U_{dipolar} de $\langle r \rangle$ y $\langle d \rangle$?

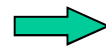
$$|U_{\text{dip}}| \approx \frac{\mu_0}{4\pi r^3} \mu_i \mu_j$$

$$\mu_i \approx \mu_j \approx \mu = M_s V_p = M_s \pi d^3 / 6$$

$$|U_{\text{dip}}| \approx \frac{\mu_0 \mu^2}{4\pi r^3} = \frac{\mu_0 (M_s \pi d^3 / 6)^2}{4\pi r^3} \approx \frac{\pi \mu_0 M_s^2}{144} \left(\frac{d^2}{r} \right)^3$$



Si $d = r$ (partículas en contacto)



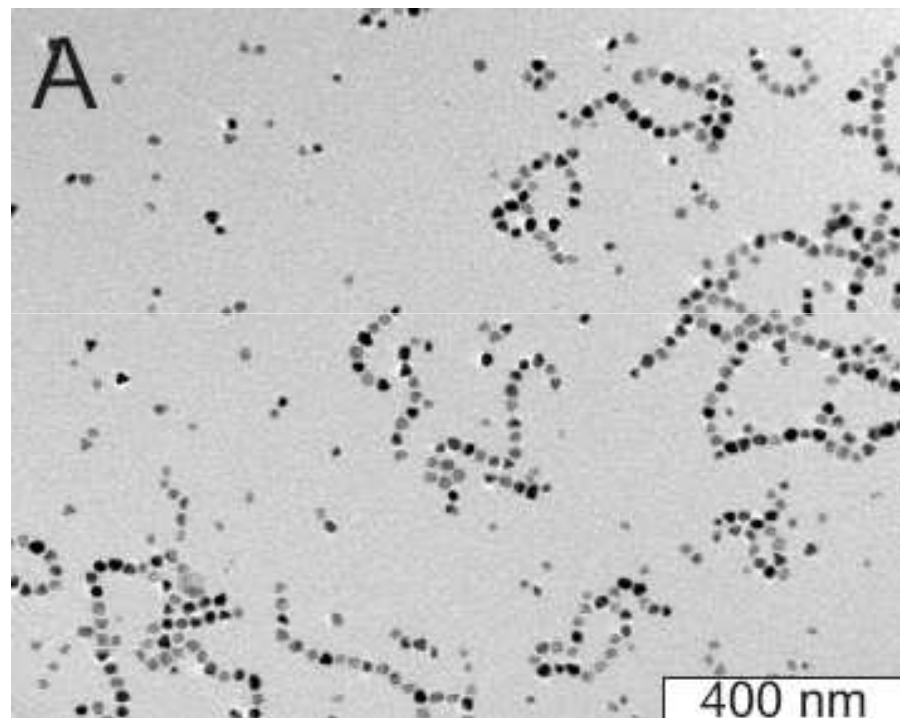
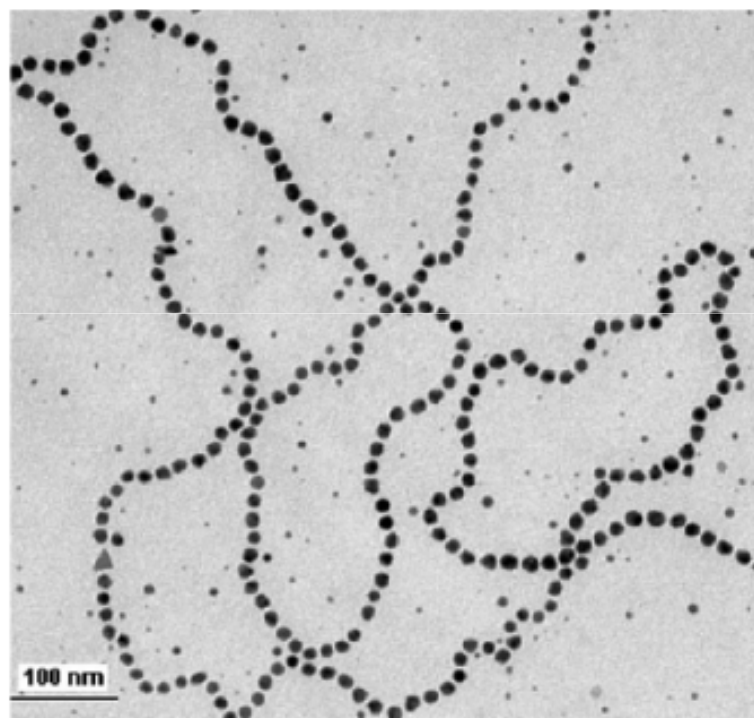
$$|U_{\text{dip}}| \approx \frac{\pi \mu_0 M_s^2}{144} d^3$$

A schematic diagram showing two green ellipses representing magnetic dipoles. A red arrow labeled $\vec{\mu}_1$ points from the bottom-left ellipse to the top-right ellipse. A red arrow labeled $\vec{\mu}_2$ points from the top-right ellipse to the bottom-left ellipse. The distance between the centers of the ellipses is indicated by a red line.

$$U_{dip} = -\frac{\mu_0}{2\pi r^3} \mu_1 \mu_2$$

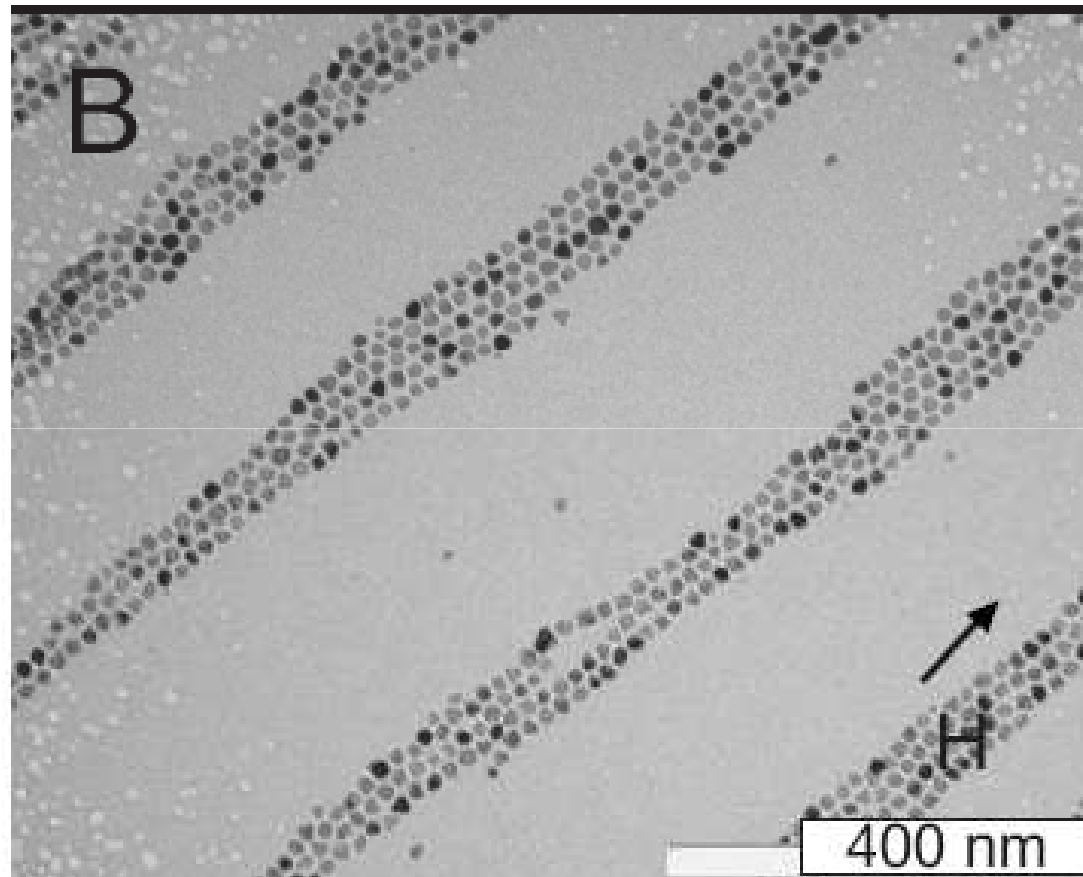
A schematic diagram showing two green ellipses representing magnetic dipoles. A red arrow labeled $\vec{\mu}_1$ points from the top-right ellipse to the bottom-left ellipse. A red arrow labeled $\vec{\mu}_2$ points from the bottom-left ellipse to the top-right ellipse. The distance between the centers of the ellipses is indicated by a red line.

$$U_{dip} = -\frac{\mu_0}{4\pi r^3} \mu_1 \mu_2$$



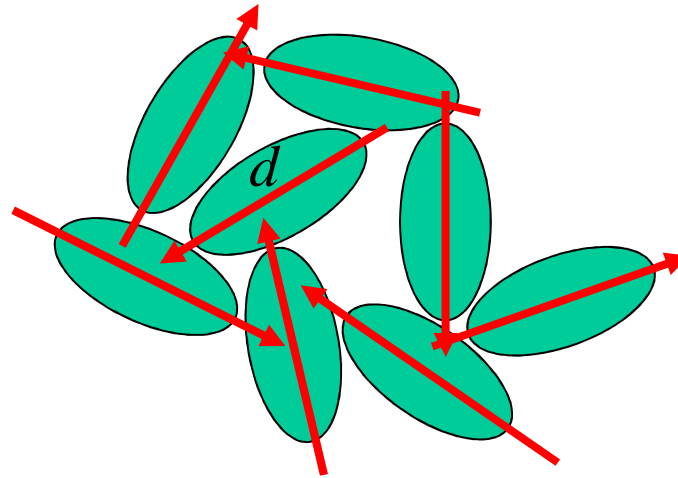
M. Klokkenburg,^{1,*} B. H. Erné,¹ A. Wiedenmann,² A. V. Petukhov,¹ and A. P. Philipse¹

PHYSICAL REVIEW E 75, 051408 (2007)



M. Klokkenburg,^{1,*} B. H. Erné,¹ A. Wiedenmann,² A. V. Petukhov,¹ and A. P. Philipse¹

PHYSICAL REVIEW E 75, 051408 (2007)



Si $d = r$ (partículas en contacto) $\rightarrow |U_{dip}| \approx \frac{\pi\mu_0 M_s^2}{144} d^3$

magnetita $M_s^m \approx 90 \text{ emu/g} = 90 \text{ Am}^2/\text{kg}$

$$M_s = M_s^m \rho \approx 4.5 \times 10^5 \text{ A/m}$$

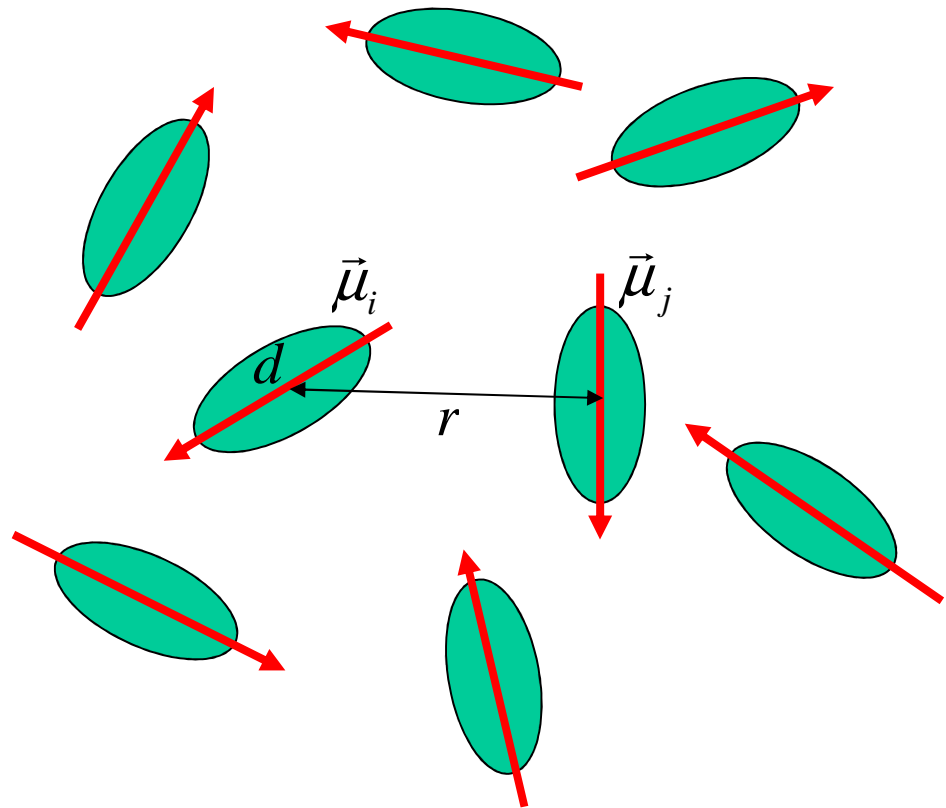
$$d \approx 10 \text{ nm} = 1 \times 10^{-8} \text{ m}$$

$$|U_{dip}| \approx 5.6 \times 10^{-21} \text{ J} \approx 3.5 \times 10^{-2} \text{ eV} \approx |U_{exch}|$$

Para qué relación $\langle r \rangle / \langle d \rangle$
será $U_{\text{Dipolar}} \ll U_{\text{Zeeman}}$?

$$|U_{\text{dip}}| \approx \frac{\mu_0}{4\pi r^3} \mu_i \mu_j$$

$$|U_Z| = \mu_0 \vec{\mu}_i \cdot \vec{H} \approx \mu_0 \mu_i H$$



$$\frac{|U_{\text{dip}}|}{|U_Z|} \approx \frac{M_S}{3H} \left(\frac{d}{r} \right)^3$$

$$\frac{|U_{\text{dip}}|}{|U_Z|} \ll 1 \Rightarrow \frac{r}{d} \gg \left(\frac{M_S}{3H} \right)^{1/3} \xrightarrow[M_S=10^6 \text{ Am}^{-1}, H=10^4 \text{ Am}^{-1}]{} \frac{r}{d} \gg 3.2$$



Fin módulo